

ВОЛНЫ И НЕУСТОЙЧИВОСТИ В БЕССТОЛКНОВИТЕЛЬНОЙ МГД: СРАВНЕНИЕ С КИНЕТИКОЙ

В.Д.Кузнецов¹, Н.С.Джалилов^{1,2}

¹ИЗМИРАН

²Шамахинская астрофизическая обсерватория

E-mail : kvd@izmiran.ru

Аннотация. На основе 16-моментных МГД-уравнений, которые учитывают тепловые потоки в анизотропной бесстолкновительной плазме, рассмотрены свойства волн и неустойчивостей и проведено сравнение с кинетическим приближением. Получено хорошее согласие двух подходов, что дает основания считать, что 16-моментные МГД-уравнения с хорошей точностью могут описывать динамику бесстолкновительной анизотропной плазмы.

1. Введение

Прямые измерения космической плазмы в доступных для космических аппаратов областях - в верхней ионосфере, магнитосфере Земли и солнечном ветре показывают ее бесстолкновительный характер, а также наличие в ней температурной анизотропии относительно направления магнитного поля. Широко применявшееся приближение Чу-Гольдбергера - Лоу (ЧГЛ) [1] для описания такой плазмы обладает известными ограничениями и в ряде случаев дает результаты, заметно расходящиеся с рассмотрением в кинетическом приближении (например, для порога зеркальной неустойчивости) [2].

2. МГД-уравнения, волны и неустойчивости

Для описания используем систему МГД-уравнений 16-ти моментного приближения [3,4] (см. ниже) в общепринятых обозначениях. Рассмотрение волн малой амплитуды помимо альвеновских волн

$$\frac{\omega^2}{k^2} = V_A^2 \left(1 - \frac{p_{\parallel} - p_{\perp}}{2p_{mag}}\right) \cos^2 \theta, \quad p_{mag} = \frac{B^2}{8\pi}, \quad (1)$$

$$\frac{d\rho}{dt} + \rho \operatorname{div} \mathbf{V} = 0, \quad \frac{d}{dt} = \frac{\partial}{\partial t} + \mathbf{V} \cdot \nabla \quad (2)$$

$$\rho \frac{d\mathbf{V}}{dt} + \nabla \left(p_{\perp} + \frac{B^2}{8\pi} \right) - \frac{1}{4\pi} (\mathbf{B} \cdot \nabla) \mathbf{B} = \rho \mathbf{g} +$$

$$+ (p_{\perp} - p_{\parallel}) [\mathbf{h} \operatorname{div} \mathbf{h} + (\mathbf{h} \cdot \nabla) \mathbf{h}] + \mathbf{h} (\mathbf{h} \cdot \nabla) (p_{\perp} - p_{\parallel}), \quad (3)$$

$$\frac{d}{dt} \frac{p_{\parallel} B^2}{\rho^3} = - \frac{B^2}{\rho^3} \left[\mathbf{B} (\mathbf{h} \cdot \nabla) \frac{S_{\parallel}}{B} + \frac{2S_{\perp}}{B} (\mathbf{h} \cdot \nabla) \mathbf{B} \right], \quad (4)$$

$$\frac{d}{dt} \frac{p_{\perp}}{B\rho} = - \frac{B}{\rho} (\mathbf{h} \cdot \nabla) \frac{S_{\parallel}}{B^2}, \quad (5)$$

$$\frac{d}{dt} \frac{S_{\parallel} B^3}{\rho^4} = - \frac{3p_{\parallel} B^3}{\rho^4} (\mathbf{h} \cdot \nabla) \frac{p_{\parallel}}{\rho}, \quad (6)$$

$$\frac{d}{dt} \frac{S_{\perp}}{\rho^2} = - \frac{p_{\parallel}}{\rho^2} \left[(\mathbf{h} \cdot \nabla) \frac{p_{\perp}}{\rho} + \frac{p_{\perp}}{\rho} \frac{p_{\perp} - p_{\parallel}}{p_{\parallel} B} (\mathbf{h} \cdot \nabla) \mathbf{B} \right], \quad (7)$$

$$\frac{d\mathbf{B}}{dt} + \mathbf{B} \operatorname{div} \mathbf{V} - (\mathbf{B} \cdot \nabla) \mathbf{V} = 0, \quad \operatorname{div} \mathbf{B} = 0, \quad \mathbf{h} = \frac{\mathbf{B}}{B} \quad (8)$$

дает следующее дисперсионное уравнение для сжимаемых волновых мод

$$\sum_{n=0}^8 C_n x^n = 0; \quad (9)$$

$$C_0 = 3(2\alpha^2 - \beta + l - 2l\alpha^2 + l\alpha - 2\alpha);$$

$$C_1 = 4[\gamma_{\parallel}(2\alpha + \beta - l\alpha + l\alpha^2 - \alpha^2 - l) - \gamma_{\perp} 2\alpha^2(1 - l)];$$

$$C_2 = 10\alpha^2(l - 1) + 9(\beta - l\alpha + 2\alpha) - 6l + 4\alpha^2(1 - l)\gamma_{\perp}^2;$$

$$C_3 = 4\alpha^2(1 - l)\gamma_{\perp} - 4\gamma_{\parallel}(2\alpha + \beta - l\alpha);$$

$$C_4 = 2\alpha^2(1 - l) - 2l - 7(2\alpha + \beta - l\alpha);$$

$$C_5 = 4l\gamma_{\parallel}, C_6 = 2\alpha + \beta - l\alpha + 6l, C_7 = 0, C_8 = -l.$$

где введены безразмерные параметры для основного состояния

$$\alpha = \frac{p_{\perp}}{p_{\parallel}}, \beta = \frac{B^2}{4\pi p_{\parallel}} = \frac{V_A^2}{c_{\parallel}^2}, c_{\parallel}^2 = \frac{p_{\parallel}}{\rho}, \eta = \frac{c_{\parallel} k_{\parallel}}{\omega}, \gamma_{\parallel} = \frac{S_{\parallel}}{p_{\parallel} c_{\parallel}}, \gamma_{\perp} = \frac{S_{\perp}}{p_{\perp} c_{\parallel}}, l = \cos^2 \theta$$

Здесь $x = 1/\eta$ – нормированная к скорости звука комплексная продольная фазовая скорость, θ – угол между магнитным полем и волновым вектором. Параметры α и β выражаются через плазменные бета-параметры β_{\parallel} и β_{\perp} : $\alpha = \beta_{\perp}/\beta_{\parallel}$, $\beta = 2/\beta_{\parallel}$.

В [5-8] получены аналитические решения дисперсионного уравнения для продольного распространения волн и установлена колебательная неустойчивость волн, распространяющихся против направления теплового потока, определен порог неустойчивости и асимптотические выражения для инкремента. Для квазипоперечного распространения установлена неустойчивость волн БМЗ-типа. Влияние тепловых потоков на эти моды не существенны. Получено корректное выражение для порога зеркальной неустойчивости $p_{\perp}^2 > p_{\parallel}(p_{\perp} + p_{mag})$, совпадающее с кинетическим выражением [9,10]. Численный анализ дисперсионного уравнения показал, что неустойчивые решения сложным образом зависят от комбинаций двух параметров тепловых потоков γ_{\perp} и γ_{\parallel} . Наличие тепловых потоков в начальном состоянии может стабилизировать зеркальную неустойчивость, и давать потоковую неустойчивость (аналог кинетической потоковой неустойчивости). Дисперсионное уравнение, описывающее сжимаемые волновые моды, вблизи порога классической аперидической шланговой неустойчивости ($\eta^2 = -a$, где $a = 1/(1 - \alpha - \beta) > 1$), связанной с несжимаемыми модами альвеновского типа, допускает при $\gamma_{\parallel} \neq 0$, $\gamma_{\perp} \neq 0$ решение для колебательной неустойчивости (“шланговая” неустойчивость сжимаемых мод для некоторого фиксированного угла распространения) $\eta^2 = -a(1 + i\varepsilon)$

$$\varepsilon \approx \mp \frac{\gamma}{3\sqrt{a}} \frac{1 + \alpha - 3\alpha^2}{(1 - \alpha)(1 + 2\alpha)}. \quad (10)$$

вблизи порога неустойчивости. Эта неустойчивость связана с резонансным взаимодействием трех волн - типа БМЗ, ММЗ, распространяющихся вдоль теплового потока и типа БМЗ, распространяющейся против направления теплового потока.

На рис.1. представлены численные решения зависимостей фазовых скоростей и инкрементов от продольного теплового

потока для случая наклонного распространения волн и для $\beta_{\parallel} > \beta_{\perp}$.

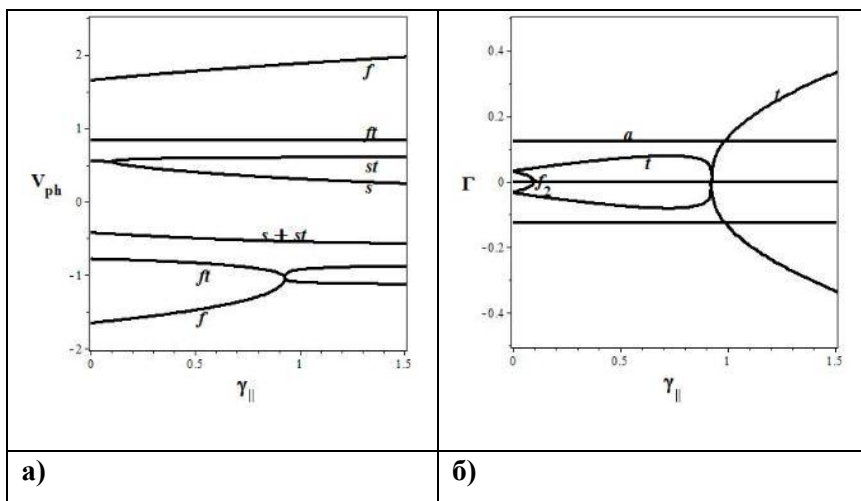


Рис.1. Фазовые скорости V_{ph} (а) и инкременты неустойчивостей Γ (б) МГД-волн как функции теплового потока γ_{\parallel} (для $\gamma_{\perp} = 0,6$, $\alpha = 0.3125$, $\beta = 0.625$) при наклонном распространении относительно магнитного поля, $\theta = 45^{\circ}$. s – медленная магнитозвуковая (ММЗ), f – быстрая магнитозвуковая (БМЗ), st – медленная звуковая, ft – быстрые звуковые моды, a – альвеновская шланговая неустойчивость, f_2 – вторая шланговая неустойчивость медленной магнитозвуковой моды, t – потоковая неустойчивость.

3. Сравнение с кинетическим описанием

В кинетическом приближении низкочастотные неустойчивости были проанализированы на основе численных решений дисперсионного уравнения для малых непотенциальных колебаний однородной бесстолкновительной магнитоактивной плазмы [11], в котором учтена массовая скорость ионов $V_0 = \text{const}$ относительно электронов вдоль магнитного поля, и сделаны соответствующие упрощающие предположения ($k_x^2 v_{\perp}^2 < \Omega^2$, Ω – циклотронная частота, $\Omega_i \gg |\omega'|$, $\omega' = \omega - k_z V_0$ – частота в движущейся системе координат, $\Omega_i \gg k_z v_{i\parallel}$, $\omega_i^2 \gg k^2 v^2$, $c^2 \gg V_A^2$, $c^2 \gg V_{ph}^2$, (см. [12]). На рис.2 показаны диаграммы кинетических волн и неустойчивостей,

качественно совпадающие с ответствующими диаграммами в МГД-приближении.

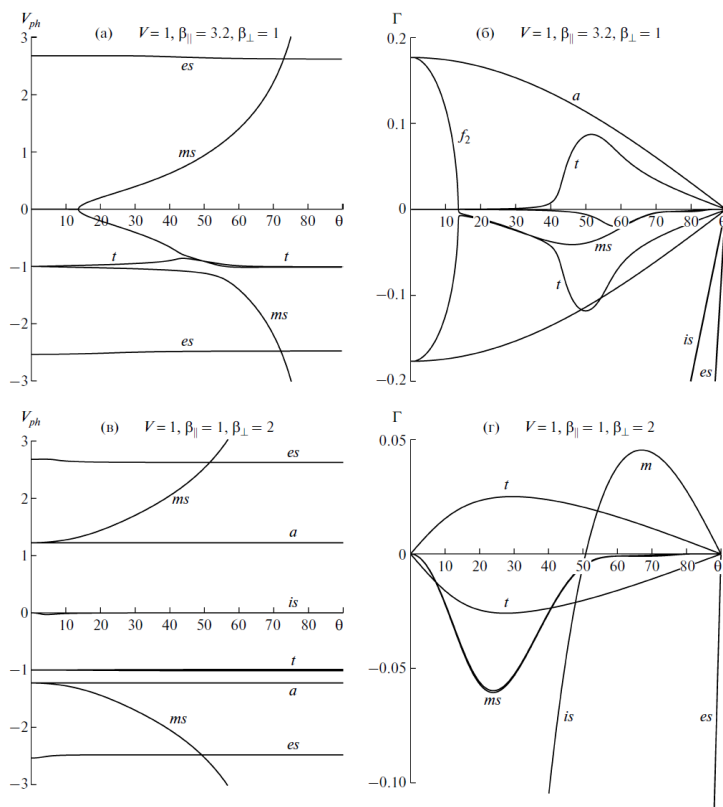


Рис. 2. Зависимость фазовых скоростей V_{ph} (слева) и инкремента неустойчивости Γ (справа) как функции от угла распространения кинетических волн в двух случаях: $\beta_{||p} > \beta_{\perp p}$ (шланговые неустойчивости (а и б)), $\beta_{||p} < \beta_{\perp p}$ (зеркальная неустойчивость (в и г)). Поточковая неустойчивость возникает в обоих случаях. Слева: ms – магнитозвуковая, is – ионно-звуковая и es – электронно-звуковая моды. Справа: f_2 – вторая шланговая, t – поточковая и m – зеркальная неустойчивости.

4. Выводы

В работе представлены результаты изучения в рамках 16-ти моментного МГД-приближения волн малой амплитуды и

неустойчивостей для бестолкнувительной температурно-анизотропной плазмы и приведены результаты сравнения с кинетическим рассмотрением. Показано, что для всех возникающих в бестолкнувительном МГД-приближении неустойчивостей (обычная несжимаемая шланговая неустойчивость, вторая сжимаемая почти продольная шланговая и почти поперечная зеркальная неустойчивость замедленных магнитозвуковых мод, а также потоковая неустойчивость, вызванная тепловым потоком вдоль магнитного поля) имеет место хорошее согласие двух подходов. Это дает основания считать, что 16-моментные МГД-уравнения с хорошей точностью могут описывать динамику бестолкнувительной анизотропной плазмы.

Работа выполнена при частичной поддержке Программы Президиума РАН № 22 и гранта РФФИ № 14-02-00769.

Литература

1. G.F.Chew, M.L.Goldberger, F.E.Low // Proc. Roy. Soc. London A, 1956, v.236, № 1204, p.112.
2. В.Б.Баранов, К.В.Краснобаев. Гидродинамическая теория космической плазмы. М: Наука, 1977.
3. В.Н.Ораевский, Ю.В.Конилов, Г.В.Хазанов. // Процессы переноса в анизотропной околоземной плазме. М: Наука, 1985.
4. J.J.Ramos. // Phys. Plasmas, 2003, v.10, № 9, p.3601.
5. N.S.Dzhalilov, V.D.Kuznetsov, J.Staude. // Astron. Astrophys., 2008, v.489, p.769.
6. В.Д.Кузнецов, Н.С.Джалилов. // Физика плазмы, 2009, т.35, № 11, с.1041.
7. В.Д.Кузнецов, Н.С.Джалилов. // Физика плазмы, 2010, т.36, № 9, с.843.
8. N.S.Dzhalilov, V.D.Kuznetsov, J.Staude. // Contrib. Plasma Phys., 2011, v.51, № 7, p.621.
9. А.Б.Киценко, К.Н.Степанов. // ЖЭТФ, 1960, т.38, № 6, с.1840.
10. А.А.Веденов, Р.З.Сагдеев. // Физика плазмы и проблема управляемых термоядерных реакций. М.: Изд. АН СССР, 1958, т.3, с.278.
11. Т.Н.Stix. // The theory of plasma waves. New York–San Francisco–Toronto–London: McGraw–Hill book comp., 1962.
12. Н.С.Джалилов, В.Д.Кузнецов. // Физика плазмы, 2013, т.39, №12, с.1122.